

SnCl_2



S_n Cl₂

BP - 6535-12 | 1935

(D₀)

Neymin H.

Acta physicochim. URSS,
1935, vol. II (5),
595-602

SnCl_2

H. Lessheim
R. Samuel

1936

911.

"Calcutta Univ. Press."

1936, 7-12.

"On the dissociation of SnCl_4 ,
 SnCl_2 .

S_Hll₂

V

S_Ill₂.

$\omega_1 = 248$

$\omega_2 = 570$.

[ommited 7055]
Asundi R.K.

1938

Karim M.

Samuel R.,

Proc. Phys. Soc. (L.) s₀, 1938, 581

Cu₆₇P₃₃ hexagonal

6000, 4800 - 4500 Å

$\omega_1'' = 122 \text{ cm}^{-1}$

$\omega_2'' = 355 \text{ cm}^{-1} \cdot \left\{ \begin{array}{l} \\ \end{array} \right. \nu_3 = 350.$

ки и са. Синире разбрасывалась через Sully
вдоль края моря в широте 70° восточная
и вдоль северной границы Франции. На
северо-западе она доходила до острова Груи-
зия и южнее до острова Сардинии. На
северо-западе вдоль границы Италии и
Сицилии. Южно-восточная граница проходит
вдоль берегов Африканского континента.

Расстояние от берегов Африканского континента
 $\frac{1}{3}$ до устья Нила 114.30 на сев. си. изм. берег

IV-8046

CH_3CHBr ; CHBr_2 ; CHBr_3 ; $\text{CHBr}_3 \text{Cl}$; CHCl_3 ; CCl_4 ; 1955
Katzin L.I.

J. Chem. Phys., 1955, 23, N 11,
2055-2060 (*erroneous*)

Regularities in the absorption
spectra of halides

Hg^{γ_2} ; Sb^{γ_3} ; Sn^{γ_4} ;

PX., 1956, 77298



IV-6727

1958

SnCl_2 , SnBr_2 , SnJ_2 , PbCl_2 , PbBr_4 , PbJ
 PbF_2 , SnF_2 (mol., str.)

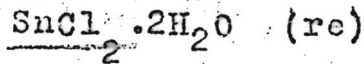
Акишин П.А., Спиридонов В.Н., Ходченко А.Н.
Ж. физ. химии, 1958, 32, № 7, 1679-1681

К вопросу об ...

3

IV-6543

1960



Grdenic D., Kamenar B.
Proc. Chem. Soc., 1960, Sept., 312-
313.

The co-ordination of ...

IV-6534

1961

SnCl_2 (re)

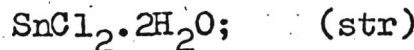
Berg J.M., van den,
Acta crystallogr., 1961, 14, N 9,
1002-1003

The crystal structure of ...

Be

1961

IV-9527



Kamenar B., Grdenic D.

J.Chem.Soc., 1961, Sept., 3954-58

The crystal structure of stannous chloride dihydrate.

Be

orig. F

PX, 1962, 11615

Sinclair

02/10/61, 1721

1963

Breuer L., et al.

J. Chem. Rev. 1963, 63,
NII, III-21.

(W.H.)

SnCl₂

Чардаш О.И.

1964

Демченко М.Е.

гвозд.

Ж. Спиркулт. Кызыл,

окр-ра

1964, 5, № 6, 924.



(Ces. ССР)^{III}
Ces no 05

Погружение IVБ. Гип NH₂ (гидразин) не
взаимодействует с кремнием. Взаимодействие Si²⁺ с гидридом кремния
имеет синглетное существо X-N-X = 90°. Но
найдено образование гетерополишиптов (у CF₂, Cl₂, Br₂,
SiF₂, SiCl₂ = 140 ± 10°) в ауксехах, которых из-
бираются, обесцвечиваются вакуумом в си-
лвер аммониях галогенов, которое су-
ществует при седых углах и малых
изменяющихся расстояниях ЧН-Х и не
увидеть даже в пироре вак. синтезе.
Помимо, можно отнести, что
угол X-N-X гораздо
меньше чем у кремния в
результате синтеза в
исследование
угла ЧН-Х. Для SnCl₂, SnBr₂, SnF₂, PbI₂, PbF₂
сущес

Sn Cl₂

Воп-МЧ82-IV

1964

Электрон.
спектры

17 Б70. Электронные спектры хлоридов олова и германия. Deschamps Pascal, Pannetier Guy. Spectres électroniques de composés chlorés de l'étain et du germanium. «J. chim. phys. et phys-chim. biol.», 1964, 61, № 11—12, 1547. Discuss., 1548 (франц.)

В спектре, получаемом при электрич. разряде в четыреххлористом олове или при его электронной бомбардировке, наблюдаются полосы в интервале 4300—4900 Å. Полосы образуют прогрессии с расстояниями 123 и 207 см⁻¹. Аналогичные прогрессии в интервале 4300—5000 Å с расстояниями 161 и 280 см⁻¹ наблюдены в спектре GeCl₄. Предполагается, что эти частоты принадлежат молекулам SnCl₂ и GeCl₂. На основании силовых постоянных молекул SnCl₂, GeCl₂, SnCl₄, GeCl₄ вычислены частоты колебаний SnCl₂ и GeCl₂, для которых получены значения 435, 205 и 595, 285 см⁻¹. В ИК-спектре SnCl₂ наблюдены частоты 424, 204, 555 см⁻¹. Получены

X-1965-17



ченное совпадение подтверждает предположение о разовании молекул SnCl_2 и GeCl_2 . Частоты 123 и 161 см^{-1} отвечают деформационным колебаниям в возбужденных электронных состояниях. Их присутствие в электронных спектрах указывает на изменение валентного угла при электронном возбуждении. Частота валентного колебания в возбужденном состоянии SnCl_2 равна 377 см^{-1} .

М. Ковнер.

SnCl_2

Nagarajan et.

1964

acta. noct. Acta Phys. Austriaca,
18(1), 1-10.

Mean amplitudes of vibration of some nonlinear symmetrical XY_2 type molecules.

(e.g. PO_2)

SnCl_2 Pannetier G. u gp. 1964

спектиръ *Z. Chim. phys. et phys.-chim.*
biol., 1964, 61, № 7-8, 1142.

Концентрационні аномалії нової
системи високоспектиръ
непусканні SnCl .

(ав. SnCl)

Sn Cl₂

Naegeli D.,
Palmer H.B.

1966

J. Moore. Spectrosc., 21, N 3.325

Ceratopae ~~Xanthopodocell-~~
~~igerapae~~ moreo- a gerado-
recepta orba

(Cer. Sn Cl) III

SnCl₂

1968

Пицелевские Б.С.
Данилова Т.Т.

V_i

дк. фиг. пицелев, 42
(11), № 2992

частично деформирован
ных кристаллов

(см. Kef₂) III

ЗР-XIV-97ero 1969

SnCl₂

1 Б205. Спектр комбинационного рассеяния газообразного SnCl₂. Регги R. O. Raman spectrum of gaseous tin(II) chloride. «Chem. Commun», 1969, № 15, 886—887
(англ.)

Исследован возбужденный лазером спектр КР молекулы SnCl₂ в газ. фазе при т-ре 650°. Обнаружены 2 поляризованные линии при 352 и 120 см^{-1} , к-рые отнесены к полносим. колебаниям ν_1 и ν_2 соответственно.

М. Р. Алиев

M. Chem. Soc. & Chem. Commn.

xc. 1970. 1

SnCl_2

IV

H969
Plastic F. W., Mauge R.,
Margrave J. Z.

Yt cekip

J. Mol. Spectrosc., 29(2),
152.

Feenup
Cp-pa

Bg

(cav. YCl_2) III

SnCl_2
(бисульфат)
Andrews Z.,
Frederick D.Z.
1970

ИК-спектр;
авт. Noct.
J. Amer. Chem. Soc.,
1970, 92, № 4, 475.

● $(\text{Cu. GeCl}_2)_{\text{III}}$

SnCl₂

Beattie M.R.,
Perry R.O.

1880

Li

N. Chev. Soc., A (14),
2429.

coll. CIP-PA

script

KP

(coll. Mcll₂) II

1971

SnCl₂

39713d Matrix Raman spectrum of monomeric tin dichloride in solid argon and nitrogen. Huber, H.; Ozin, G. A.; Vander Voet, A. (Lash Miller Chem. Dep., Univ. Toronto, Toronto, Ont.). *J. Mol. Spectrosc.* 1971, 40(2), 421-3 (Eng). The Raman spectra were obtained of monomeric SnCl₂ isolated in Ar and N₂ matrixes at 4.2°K. Matrix shifts of ~12 cm⁻¹ were obsd. on passing from Ar to N₂. The spectrum in N₂ was of higher quality: bands were obsd. at 341, 320, and 124 (ν_2) cm⁻¹. The ν_2 band was not obsd. in Ar.

ViC.A. 1972-76

1941

SnCl₂

Б1097. Импульсный фотолиз SnCl_2 и SnCl_4 . Энергии диссоциации SnCl_2 и SnCl . Oldershaw G. A., Robinson K. Flash photolysis of SnCl_2 and SnCl_4 . Dissociation energies of SnCl_2 and SnCl . «J. Chem. Soc.», 1971, A, № 19, 2963—2967 (англ.)

80.
Использование
для
 SnCl_2 диссоциирует на SnCl и Cl при поглощении света в области 320 нм. Вероятные величины энергии диссоциации SnCl_2 и SnCl составляют соотв. 88 и 100 ккал/моль. При импульсном фотолизе SnCl_4 наблюдалась SnCl_2 , SnCl и Sn . При распаде колебательно-возбужденного SnCl_3 , получаемого в перв. акте, образуется SnCl_2 . SnCl получается при втор. фотолизе SnCl_2 и реагирует со SnCl_4 при каждом столкновении. Sn также быстро реагирует со SnCl_4 .

Резюме

(+) SnCl_2 - 90% SnCl_4 - 100%ФМХ, 1972, № 6

Snlx

1972

Margrave J. L. et al.

Forsch. chem. Forsch.

OTzsp.

1972, 26 1-35

Cucar.

neceegob.

(cet. CF₂; II)

1973

SnCl₂

Р) 13 Б200. Исследование высокотемпературных образований с помощью инфракрасной спектроскопии и спектроскопии комбинационного рассеяния. Beattie I. R., Gumbach S. B., Everett D., Moss R., Nelson D. Studies of high temperature species by infra-red and Raman spectroscopy. «Faraday Symp. Chem. Soc.», 1973, № 8, 107—116. Discuss., 117—120 (англ.)

Приведено описание газовых кювет различного типа для получения спектров КР- и ИК-поглощения при высоких т-рах (до -1500°). Простейшая кювета для получения спектров КР при т-рах до 1000° выполнена в виде цилиндра с окошками из кварца или сапфира, окруженному нагревателем с прорезями для выхода рассеянного излучения. Окошки имеют форму толстых ци-

X-1975. N/3

17

17

17

17
кюветы

линдрич. блоков, что позволяет охлаждать их внешние торцы, они крепятся через золотые и тефлоновые уплотняющие прокладки к кювете. Для т-р выше 1000° целесообразно применять ячейку Кнудсена, возбуждающее лазерное излучение фокусируется на выходящий из сопла поток газа на расстоянии ~1,5 см от среза сопла. Хорошие спектры ИК-поглощения получены в кювете с кремниевыми окошками. Рассмотрена возможность использования перестраиваемых лазеров для получения ИК-спектров при высоких т-рах. В кач-ве примера приведены спектры SnCl_2 , NbF_3 и AlBr_3 . Обсуждается вопрос об учете вклада «горячих полос» при проведении количественных измерений в спектрах КР. А. Бобров

1973

SnCl₂ 6 Д 1276. Исследование высокотемпературных образований с помощью инфракрасной спектроскопии и спектроскопии комбинационного рассеяния. Beattie I. R., Grumbach S. B., Everett D., Moss R., Nelson D. Studies of high temperature species by infra-red and Raman spectroscopy. «Faraday Symp. Chem. Soc.», 1973, № 8, 107—116. Discuss., 117—120 (англ.)

NcF₅ АlCl₃ (рукопись) Приведено описание газовых кювет различного типа для получения спектров комб. рас. (КР) и ИК-поглощения при высоких т-рах (до ~1500°). Простейшая кювета для получения спектров КР при т-рах до 1000° выполнена в виде цилиндра с окнами из кварца или сапфира, окруженного нагревателем с прорезями для выхода рассеянного излучения. Окна имеют форму толстых цилиндрич. блоков, что позволяет охлаждать их внешние торцы. Окна крепятся к кювете через зо-

90/1975 N 6



лотые и тефлоновые уплотняющие прокладки. Для т-р выше 1000° целесообразно применять ячейку Кнудсена. Возбуждающее лазерное излучение фокусируется на выходящий из сопла поток газа на расстоянии $\sim 1,5$ см от среза сопла. Хорошие спектры ИК-поглощения получены в кювете с кремниевыми окнами. Рассмотрена возможность использования перестраиваемых лазеров для получения ИК-спектров при высоких т-рах. В качестве примера приведены спектры SnCl_2 , NbF_5 и AlB_3 . Обсуждается вопрос об учете вклада «горячих полос» при проведении количеств. измерений в спектрах. КР. Библ. 17.

А. В. Бобров

30831.4653

Lille (U.R.)

1973

Ch

75189

XIV 4892

Chatelie André, Iacocca Diodoro, Pannetier Guy. Analyse rotationelle du système B-X du monochlorure d'etain. "J. ^{phys.} et chim. phys. chim. Biol.", 1973, 70, N 6, 908-917
(Франц., ред. англ.)

10.0954 1000

939 931 0 4 114

БИБЛИИ

$\text{SnCl}_2(2)$ Commission 12744 | ~1974

Beattie J.R., et al.

Panam Chirp

see 2000.

Faraklesy Symposium 8,
N9, 1A - 5B.

Studies of high temperature
species by infra-red and Raman spect.

SnCl_2

1974

Mohandas S, et.al.

acc. noem.

Di

J. Univ Poona Sci
Technol 1974, 46, 89-92
(Eng)

(au Ge Cl_2 ; III)

1974

Sp Che

Shimaduehi T.

J. Phys. Chem. Ref. Data

1974, 3(1) 269-308 (Eng)

D_i

(all O₃; \overline{III})

вр - 6595 - XIV

1975

SnCl₂

12 Д117. Изучение эллипсов молекулярного силового поля для SnCl₂ с неподеленной парой электронов.

Nagayama K. I., Soudagar M. K. A study of molecular force field ellipses for SnCl₂ with lone-pair. «Curr. Sci.» (India), 1975, 44, № 4, 118—119 (англ.)

Графическим методом (по зависимости F_{11} от F_{12} при различных значениях валентного угла) вычислены силовые постоянные молекулы SnCl₂ при различных отнесениях частот колебаний (354, 334 и 120 см⁻¹). Показано, что при $\omega_1 > \omega_3$ для параметра смешивания форм колебаний получается мнимое значение. Вычислены также среднеквадратичные амплитуды колебаний и постоянные кориолисова взаимодействия SnCl₂.

М. Р. Алиев

ф. 1975 № 12

SnCl₂ B92-6595-XIV 1975

177341f Molecular force field ellipses for tin(II) chloride with lone-pair [electrons]. Narayana, K. L.; Soudagar, M. K. (Theor. Phys. Group, Shivaji Univ., Kolhapur, India). *Curr. Sci.* 1975, 44(4), 118-19 (Eng). Mol. force field ellipses for SnCl₂ were obtained with and without lone-pair electron contributions and show for a given valence angle, the lone-pair electron contribution causes an increase in the eccentricity and a considerably decrease in the angle of inclination of the ellipse with the *F₁₁* axis. The effect of the inclusion of the lone pair is similar to that of an increase in the mass of the central atom. The force consts. and Coriolis coupling coeffs. were detd.

Chem. Noer.

C.A. 1975. 82 N26

SnCl_2

ommuck 3595

1975

Pabst R. S. et. al.

Department Chem Rice
Univ, Houston Texas

Fe^-

Negative ion electron impact
studies of group IV A zeta
halides

Snell

Lasmusee 5976

1976

Negevico A. et. 1977.

домашн.,
сигарет.
Македония
имеет характерно
изогнутые и изогнутые
представляют
изогнутые и изогнутые

? Македония,



Белое.

1976, c. 10

1976

SnCl₂

SnJ₄

одинаковы.

9 Б141. Спектры поглощения расплавов SnCl₂ и SnJ₄. Murgulescu I. G., Ivana Eugenia, Popa E., Contineanu Iulia. Absorption spectra of molten SnCl₂ and SnJ₄. «Rev. roum. chim.», 1976, 21, № 8, 1115—1119 (англ.)

Исследовано влияние т-ры на границу области пропускания в электронных спектрах поглощения SnCl₂ (I) и SnJ₄ (II) ($\lambda = 30\ 000 - 15\ 000 \text{ см}^{-1}$, $t^\circ = 25 - 300^\circ$). Установлено, что с ростом т-ры пропускание I монотонно увеличивается, испытывая в точке плавления (250°) скачок. Наоборот, пропускание II с ростом т-ры монотонно уменьшается, но в точке плавления ($143,5^\circ$) резко увеличивается. Эти факты объясняются: в первом случае распадом полимерных цепей $(\text{SnCl}_2)_n$ и возможным образованием ионов SnCl_3^- и SnCl_4^+ с ростом т-ры, во втором случае — устойчивостью молекул SnJ₄ и тепловым расширением.

А. М. Шаповалов

(+) A

спектр
поглощ.

2. 1977
N 9

SnCl₂

*G-14769

1976

Terault & Nakamoto K

Inorg. Chem. 1976,

15 n6, 1282-87

Sr Cl₂

1977

Kanbe Yuz-ichiro, et al.

J. Phys. Soc. Jap. 1977,
43, N4, 1280-1285 (ann)

допомог.
стекло



an. Pb Cl₂ - I

SnO_2 · ommea 5988. 1974

Maya J.

pernoguccos,

Σ , nonsp. cor.

J. Chem. Phys., 1977
67, 4976 - 4980

ca. Hg $\Sigma_2 - \bar{\Pi}$

SrCl₂

1977

Narayana K. L., et al.

Acta chim. Acad. sci. hung.,
1977, 94, N2, 105-118.

all. H.
catal.

all. C Cl₂-III

SnCl_2

1977

Pabst R. E., et al.

(A \bar{e})

Int. J. Mass. Spectrom.
and Ion Phys., 1977,
24 (3), ● 323-33
(cd - SnCl_3 i^{III})

Sn Cl₂

1977

(4)

Potts A.W. et al.

Phys. scr., 1977, 16,
N5-6, 191-96.

corr. RCl - III

70506.6608

Ch, Ph, TC

S96269 синтр 1977

SnCl₄ f.ccl₂ FG-12267

Schichl A., Litterst F.J., Micklitz H., Devort J.P., Friedt J.M.
 Mössbauer study of the ¹¹⁹Sn resonance in rare-gas matrix-isolated Sn(IV)- and Sn(II)halide molecules. "Chem.Phys.", 1977, 20, N 3, 371-379 (англ.)

837 841

359

0868

ВИНИТИ

Snlz

ommieca 5792

1977

Shimanouchi T.

Madura
Ji

J. Phys. Chem. and Ref. Data,
1977, 6, 995-1102.

Sr Cl₂

1977

Toyoda, Mikoru et al.
Nippon Kagaku Kaishi.
1977, (8), 1077-80 (Japan).

mercp.
mercip



(act. C° Cl, III)

1978

SnCl_2
gasous.
exexp

Potts H. W., et al
J. Electron Spectrosc.
and Relat Phenom.,
1978, 13, NS, 324-38.



(Cu TlCl; II^{I})

1979

 SnCl_2 LiAlCl_4 NaAlCl_4 CsAlCl_4

(Corescrip K.P.)

(+3) 



C. H. 1549 JUN 12

1949

SnCl_2

SnBr_2

Физика
Совета

(4) 18

7 Д385. Исследование электронной структуры валентных зон SnCl_2 и SnBr_2 методом УФ-фотоэлектронной спектроскопии. Роберт R. T., Nicholson J. A., Jenkin J. G., Leckey R. C. G., Peel J. B., Liesegang J. Electronic structure of the valence bands of SnCl_2 and SnBr_2 studied by ultraviolet photoelectron spectroscopy. «J. Electron Spectrosc. and Relat. Phenom.», 1979, 15, 91—94 (англ.)

Получены HeII (30,4 нм) — фотоэлектронные спектры поверхностей кристаллических SnCl_2 и SnBr_2 . Сравнение результатов с фотоэлектронными спектрами и теоретическими расчетами газообразных молекул SnCl_2 и SnBr_2 в рамках метода МО ЛКАО, выполненными другими авторами, позволило отнести наблюдавшиеся полосы к орбитальным (в направлении увеличения потенциалов ионизации): $4a_1$, $3b_2$, $1a_2$, $3a_1$, $2b_2$ и $2a_1$. Пороги фотоионизации кристаллических SnCl_2 и SnBr_2 равны (в эВ) 7,87 и 7,54 соответственно.

М. Т.

РПСРУ, 1949, 17

SrCl_2

1981

Müller J., et al.

J. Mol. Struct.,
Waaijep, 1981, 77, N 1-2, 65-73.
Vi.

(Cs_2SiCl_2 ; ^{111}I)

SnCl₂

1981

*спектр,
изомер,
структур*

8 Б1268. Фотофрагментация SnCl_2 при 193 нм.
Veen G. N. A. van, Veen N. J. van, Baller T.,
Vries M. S. de, Vries A. E. de. Photofragmentation
of SnCl_2 at 193 nm. «VIII Int. Symp. Mol. Beams, Can-
nes, June 1—5, 1981». S. I., 1981, 199—201 (англ.)

В эксперименте с молек. пучком измерены фотофрагментные спектры SnCl_2 при действии поляризованного света 193 нм. В опытах измеряли угловые распределения фотофрагментов ($\Phi\Phi$) и времяпролетные спектры $\Phi\Phi$. Времяпролетные спектры, регистрируемые для ионов Sn^+ и SnCl^+ , идентичны, откуда сделан вывод, что сигнал Sn^+ обусловлен диссоциативной ионизацией SnCl в ионизаторе с электронной бомбардировкой. $\Phi\Phi$ Cl и SnCl образуются в одном процессе фрагментации. Обнаружение $\Phi\Phi$ с кинетич. энергией 1,7 эВ противоречит диссоциации SnCl_2 на SnCl ($A'^2\Sigma$) + $\text{Cl}(^2P)$, т. к. при этом кинетич. энергия $\Phi\Phi$ должна составлять

X. 1982, 19, № 8

лишь 0,1 эВ. Поскольку сечение поглощения света 193 нм велико и обнаруживает интенсивный максимум, что указывает на связально-связанный переход, а угловое распределение ФФ м. б. интерпретировано в предположении, что возбужденное состояние является долгоживущим, сделан вывод, что механизмом фрагментации является предиссоциация на $\text{SnCl}({}^2\pi_{3/2}) + \text{Cl}({}^2P)$.
Во внутр. энергию ФФ переходит $\sim 0,5$ эВ. Угловые

распределения Cl и SnCl характеризуются одним и тем же параметром анизотропии $\beta = 0,21 \pm 0,01$. Это угловое распределение для долгоживущего возбужденного состояния м. б. интерпретировано на основании одного перехода ${}^1A_1 \rightarrow {}^1B_2$. В предположении, что атом Cl отрывается от молекулы SnCl_2 , двигаясь вдоль разрываемой связи SnCl , на основании измеренного значения β найдено, что угол ClSnCl составляет $122 \pm 6^\circ$. В. Е. Скурат

SnCl₂

Омск 13660 1982

11/19 Б1252. Фотофрагментация SnCl₂ при 193 нм.
Van Veen N. J. A., Van Veen G. N. A.,
Vries M. S. De, Vries A. E. De. Photofragmenta-
tion of SnCl₂ at 193 nm. «Chem. Phys.», 1982, 66, № 3,
465—470. (англ.)

*Фотофрагментация
SnCl₂*

Методом фотофрагментной спектроскопии измерены времяпролетные спектры и угловые распределения продуктов фотодиссоциации молекул SnCl₂ светом 193 нм лазера на ArF* — атомов: Cl и фрагментов SnCl. Показано, что главный путь диссоциации — образование SnCl и Cl в основных электронных состояниях $X^2\Pi$ и $2P$ соотв. Энергия колебат. и вращат. возбуждения SnCl ($X^2\Pi$) должна составлять 0,4—0,8 эВ (в зависимости от состояний ТС продуктов). Этот результат исключает возможность создания фотодиссоциационного лазера на SnCl, получаемого накачкой SnCl₂ лазером на ArF*. Полученный результат объяснен на основании механизма, согласно к-рому диссоциация проис-

X. 1982, 19, N 19.

ходит из состояния, в к-ром равновесное расстояние $\text{Sn}-\text{Cl}_2$ превышает соотв-щее расстояние для основного состояния на $\sim 0,01$ нм. Угловое распределение осколков характеризуется параметром анизотропии $\beta = 0,21$. Предложена модель фотодиссоциации, основанная на переносе заряда с несвязывающей p -орбитали атома Cl на p_x -орбиталь атома Sn. Согласно этой модели дипольный момент перехода образует угол $46,5 \pm 0,4^\circ$ с направлением диссоциации и лежит в молек. плоскости. Он направлен преимущественно по оси $\text{Cl}-\text{Cl}$, а не вдоль оси с симметрией C_2 . В. Е. Скурат

льни
авис

SnCl₂

Омск 13660

1982

8 ДЗ01. Фотофрагментация SnCl₂ при 193 нм.
 Photofragmentation of SnCl₂ at 193 nm. Van Veen N. J. A., Van Veen G. N. A., De Vries M. S., De Vries A. E. «Chem. Phys.», 1982, 66, № 3, 465—470 (англ.)

Методами фотофрагментационной спектроскопии получены времяпролетные спектры и угловые распределения фрагментов SnCl, Sn, Cl при фрагментации SnCl₂ при 193 нм. По временам пролета найдено, что имеет место диссоциация на SnCl ($X^2\Pi$) и Cl(2P) и что фрагмент SnCl является колебательно высоковозбужденным. Предложен механизм этого эффекта, в котором потенц. поверхность верхнего состояния имеет седловидную точку при расстоянии Sn—Cl₂, большем, чем это расстояние в основном состоянии. Угловое распределение характеризуется параметром анизотропии $\beta=0,21$. Предложена модель, основанная на переносе заряда с несвязывающих орбиталей атомов Cl на орбиталь p_x атома Sn. Модель предсказывает в хорошем согласии с эксперим. наблюдениями, что переходы $A_1 \rightarrow B_2$ преобладают по сравнению с $A_1 \rightarrow A_1$ и переходами $A_1 \rightarrow B_1$ можно пренебречь.

Резюме

*Фотодразон-
ментация*

cf. 1982, 18, N8

Schla (2)

Om. 17865

1983

Margittai I., Biefert C.

u.n.

Z. Naturforsch., 1983,
B38, N10, 1304-1305.

S2 Clz

Om. 18727] 1984

100: 129297q Ultraviolet photoelectron spectra of gas phase and condensed tin and lead dihalides (MX_2 ; M = Sn, Pb; X = Cl, Br, I). Novak, Igor; Potts, Anthony W. (Dep. Phys., King's Coll. London, London, UK WC2R 2LS). *J. Electron Spectrosc. Relat. Phenom.* 1984, 33(1), 1-7 (Eng). A He I α /He II α photoelectron spectroscopic study was carried out on the complete title series in both gaseous and condensed phases. The spectra agree well with those previously reported and preliminary assignments were made on the basis of a comparison with the predictions of extended Hückel calcns. Relative intensity changes in the spectra recorded with He I and He II radiation and EHMO calcns. suggest that the HOMO ($4a_1$) contains significant metal atom *sp* character. Orbitals with higher ionization energies ($3b_2$, $1a_2$, $1b_1$, $3a_1$, $2b_2$), however, have predominantly halogen π character and may be designated lone pairs. The spectra of the condensed halides show a distinct similarity to gas phase spectra when band broadening and shifts due to charging and relaxation are taken into account.

(45)

17

c.a. 1984, 100, N 16

Илл
Денисов А. В., 1985

Автореферат диссертации на
соискание учёной степени
к. х. н., Москва, 1985.

гомоприз,
структурно-
химометрии
Конебанн.,
состав,
построен.

Структура и колебания. Струк-
турные характеристики оксидов
одновалентных галий, индий,
титан и футорогалидов осмия.
Исследовано на основе Электронно-
графических данных.

Sch

1985

Денисов А. В.,

Рыбнович.
Чесноков,
Парашевский,
Синяв,
Юсупов,
Чистополь,
Чистополь
Констант.

Диссертація на соисканіє
кандидатської ступені
К. Н. А., Москва, 1985.

SnCl₂

1985

11/Б1176 Деп. Уточнение структуры и колебательных характеристик дихлоридов олова и свинца. Демидов А. В., Засорин Е. З., Спиридов В. П.; Ред. ж. «Вестн. МГУ. Химия». М., 1985. 8 с., ил. Библиогр. 7 назв. Рус. (Рукопись деп. в ВИНИТИ 25.12.85, № 8878—B)

Уточнены параметры эффективных термически-средних геометрич. конфигураций молекул дихлоридов Sn и Pb. Определена равновесная структура и силовые постоянные этих молекул в гармонич. приближении. Рассчитанные частоты колебаний хорошо согласуются с величинами, полученными из спектров. Автореферат

*Д. И. П. ЧОМ.
Структура*

~~20~~(+) *PbCl₂*

X. 1986, 19, N 11

SnCl₂

1985

Маргаруцик А. В.,

Автографом доктора медицины
СЛЕКУР на симпозиум ученых сме-
новедений. Несвиж. К.Х.И., Минск, 1985.

Регулируемое постоянное
напряжение двухориготов Электи-
моб. хим. Вертной грунты.

SnCl₂

Он. 20 857 1985

11 Б1130. Применение теории возмущений второго порядка к ангармоническому анализу молекул методом газовой электронографии. Часть III. Потенциальные функции типа Морзе для SnCl_2 , SnBr_2 , SnI_2 , Ga_2O и Tl_2O . Second-order perturbation approach to anharmonic analysis of molecules by electron diffraction. Part III. Morse-like potential function of SnCl_2 , SnBr_2 , SnI_2 , Ga_2O and Tl_2O . Nasarenko A. Ya., Spiridonov V. P., Butayev B. S., Zasorin E. Z. «J. Mol. Struct.», 1985, 119, № 3—4, Suppl.: «Theochem.», 20, № 3—4, 263—207 (англ.)

(74)

Для анализа электронографич. данных угловых симм. трехатомных молекул с использованием молекулярной потенциальной функции предложена практическая процедура, основанная на ур-нии, выведенном ранее авторами с помощью теории возмущений 2-го порядка. С помощью этой процедуры проведена новая интерпретация полученных ранее эксперим. данных для SnCl_2 , SnBr_2 ,

ионетр., Δ
структур.,
м-р., син-догм,
 Δ_i
х. 1985, 19, № 11

SnJ_2 , Ga_2O и Tl_2O и определены след. геометрич. параметры (расстояния в Å, углы УХУ в град., в скобках указаны ср. квадратичные ошибки): $r_e(\text{Sn}-\text{Cl})=2,338$ (3), $\text{ClSnCl}_e=97,7$ (8), $r_e(\text{Sn}-\text{Br})=2,504$ (3), $\text{BrSnBr}_e=98,6$ (7), $r_e(\text{Sn}-\text{J})=2,699$ (3), $\text{JSnJ}_e=103,5$ (9), $r_e(\text{Ga}-\text{O})=1,815$ (3), $\text{GaOGa}_e=142,1$ (9), $r_e(\text{Tl}-\text{O})=2,090$ (3), $\text{TIOTl}=141,8$ (9). Найдены гармонич. силовые константы и морзе-подобные ангармонич. параметры для расстояний типа X—Y и Y—Y, по которым вычислены частоты колебаний. Последние сопоставлены со спектральными и оценочными значениями, приведенными в литературе.

Б. С. Бутаев

SnCl₂

On. 20.857

1985

102: 102537x Second-order perturbation approach to anharmonic analysis of molecules by electron diffraction. Part III. Morse-like potential function of tin(II) chloride, tin(II) bromide, tin(II) iodide, gallium(I) oxide, and thallium(I) oxide. Nazarenko, A. Ya.; Spiridonov, V. P.; Butnev, B. S.; Zasorin, E. Z. (Dep. Chem., Moscow State Univ., Moscow, USSR). THEOCHEM 1985, 20(3-4), 263-70 (Eng). A practical procedure based on a 2nd-order perturbation intensity equation was developed for anal. of diffraction data from bent sym. triat. mols. in terms of the mol. potential function. With this procedure, diffraction data for SnCl₂, SnBr₂, SnI₂, Ga₂O, and Tl₂O obtained earlier were reinterpreted and the equil. geometrical parameters, harmonic force consts., and Morse-like anharmonic parameters for both distances were detd. The frequencies of vibration were also evaluated and compared with spectroscopic and estd. values reported in the literature.

*Sn·guopap; cmp.
vi*

(44) R

c. A. 1985, 102, N 12

SrCl_2

1986

Gershikov A.G., Zasoren
enpykm. E.Z., et al.
napsue., Zh. Strukt. Khim.

Cles. rocm., 1986, 27(3), 36-40.
Vi;

(crys. Ba_2O ; III)

1986

SnCl₂
SnCl₂+

(И.Л.)

(72)

7 Д53. Молекулярная структура, частоты колебаний и потенциалы ионизации дигалогенидов олова. Неэмпирическое изучение методами ССП и КВ. Molecular structure, vibrational frequencies and ionization potential of tin dihalides. An ab initio SCF and CI study. Ricart J. M., Rubio J., Illas F. «Chem. Phys. Lett.», 1986, 123, № 6, 528—532 (англ.)

Методом ССП с использованием неэмпирич. псевдопотенциала и последующим учетом электронной корреляции с помощью метода КВ в двухэкспонентном базисе, дополненном поляризационными ф-циями, выполнены расчеты равновесных геометрич. параметров, частот колебаний и потенциалов ионизации молекул SnX_2 и SnX_2^+ ($\text{X}=\text{Cl}$, Br , J). Отмечено, что для нейтральных молекул найденные геометрич. параметры согласуются с эксперим. данными в пределах 2%, среднее отклонение полученных частот колебаний от эксперим. значений составляет 9% и 8% на уровнях ССП и КВ соответственно, а рассчитанные потенциалы ионизации согласуются с результатами экспериментов лучше, чем результаты других расчетов.

А. И. К.

 SnBr_2 , SnJ_2

сб/1986, 18, № 7

SnX_2

SnX_2^+

$X = \text{Cl}, \text{Br}, \text{I}$

SnCl_2

1985

[07.23192]

104: 174920f Molecular structure, vibrational frequencies and ionization potential of tin dihalides. An ab initio SCF and CI study. Ricart, J. M.; Rubio, J.; Illas, F. (Fac. Quim. Tarragona, Univ. Barcelona, Tarragona, Spain 43005). *Chem. Phys. Lett.*, 1985, 123(6), 528-32 (Eng). The geometrical parameters for SnX_2 ($X = \text{Cl}, \text{Br}, \text{I}$) and SnX_2^+ were optimized at the SCF and CI levels, using nonempirical pseudopotentials and a basis set of double-zeta plus polarization quality. For the neutral mole., the geometrical parameters agreed with the exptl. values, the difference being of about 2%. Vibrational frequencies and ionization potentials also agreed with expt.

recomend. rapam., ⑦2 18
ab initio pacem
C.A. 1986, 104, N20

- 1) SnBr_2 , SnBr_2^+
- 2) SnI_2 , SnI_2^+

1986

SnCl₂

11 Б1027. Изучение молекулярной структуры, колебательных частот и потенциала ионизации (ПИ) дигалогенидов олова неэмпирическими методами ССП и КВ. Molecular structure, vibrational frequencies and ionization potential of tin dihalides. An ab initio SCF and Ci study. Ricart J. M., Rubio J., Illas F. «Chem. Phys. Lett.», 1986, 123, № 6, 528—532 (англ.)

Неэмпирическими методами ССП и КВ в сгруппированном базисе ГФ (441/221) в приближении псевдопотенциала Дюрана — Бартела проведены расчеты молекул SnX₂ и SnX₂⁺ (X=Cl, Br, I) с оптимизацией геометрии. Расчет КВ выполнен в рамках алгоритма

CIPSI (B. Hugon, J. Malrieu, P. Rancurel, «J. Chem. Phys.», 1977, 58, 5745). Для нейтр. частиц расхождение теорет. и эксперим. геометрич. параметров составляет ~2%. Аналогичное расхождение в колебат. частотах составляет ~9 и ~8% для ССП и КВ расчетов.

Э. Д. Герман

(т2)



X. 1986, 19, N 11

SnCl₂, SnBr₂, на об.

на об.

- 1) SnBr_2 , SnBr_2^+
- 2) SnI_2 , SnI_2^+



Иллэ

[DM. 31548]

1986

Смирнов В.П., Гершков А.Г.
Засорин Е.З.,

Определение параметров по-
лимеральных ф-ий молекул
на основе совместного анали-
за спектрофот. и спектр.
данных.

Межвузовский сборник

научных прусов, Иваново, 1986,
53-64.

Спрук-
турса,
номенц.
ор-ус

Sch

Парусов А. И., 1986

Автореферат диссертации
на соискание ученой степени
к. геол.-мат. наук, Моск-
ва, 1986.

Рассмотрение быстрых элек-
тромод методом быстрого
анализа для спектра.

SnCl_2

1987

(Creeker 6
geicmbuener
soemn spessa
greenum Sn_2)

107: 186319s The spectrum of stannous chloride is still to be found. Dubois, L. (Inst. Astrophys., Univ. Liege, B-4200 Ougree-Liege, Belg.). *J. Mol. Spectrosc.* 1987, 124(2), 494 (Eng). The spectrum was recorded of a heated graphite hollow cathode discharge contg. Sn chips; the spectrum attributed to SnCl_2 by R. Cornet and D. (1977) is in fact due to Sn_2 .

c.A.1987, 107, N.20

St. Petersburg

1988

Музейного А. А., памятни
ческ А. В. и др.

Сине
окна
девелоп-
торов с $A^T B_I - X^T A_I$
море
Определение основа-
тельных
электрических переходов
москвы  гибискусов
Краснодар, Краснодар и окраин

VII Всесоюзной конференции по геокриологии
и гидрологии, Киев, 1988.

Межисыроклиматический, 237.

Srila

(On 33 363)

1989

Wang J.H., Cheong B.S.,
et al.,

J. Chem. Phys. 1989,

91, N 5, 2834-2839

Chemiluminescent reactions

of ground and metastable
states of the group
IA elements with halogens

SnCl_2 Lyubitsarev V. S., 1990
Ermakov R. V. et al.

sp. n. Mol. Struct. 1990,
pacrem 77-84.

(crys. \bullet CrF_2 ; $\bar{1}\bar{1}\bar{1}$)

Sr_2Cl_2

1990

Russ Stefanie,
Grodzicki Michael.

U. n.

Phys. Scr. 1990, 42,
N 1. C. 58-64.

(crys. GeF_4 ; 111)

In Cl₂ Засорин Е.З., 1990
слюнокамерной структуры
разного простых ксеноанатомических
состава и имеющей
температуру 2013°К.
Электронографии.

Изображение на кончике уре-
мии синтеза ● G.X.H., illockha,
1990.

SnCl₂

07.362j2

1991

№ 10 Б1158. Электронная структура SnCl₂ по данным фотоэлектронной спектроскопии Не-I и Не-II в газовой фазе и расчетов методом псевдопотенциала. Electronic structure of SnCl₂ by HeI and HeII gas-phase photoelectron spectroscopy and pseudo-potential calculations / Cauletti C., de Simone M., Stranges S. // J. Electron Spectrosc. and Relat. Phenom.— 1991.— 57, № 2.— С. 1—6.— Англ.

И.Н.

Измерены фотоэлектронные спектры паров дихлорида олова, возбуждаемые Не-I и Не-II, и методом псевдопотенциала рассчитана электронная структура молекулы. Вычисленные оптимизированные геометрич. параметры SnCl₂, $R(\text{Sn}-\text{Cl})=2,345 \text{ \AA}$, $\angle \text{ClSnCl}=98,8^\circ$, хорошо согласуются с эксперим. электронографич. данными (соотв. 2,338 \AA и 98,9°). Рассчитанные орбитальные энергии ($-E_{\text{орб}}$ в эВ); состав МО (вклады доминирующих АО, в работе даны численные значения заселен-

х. 1992, № 10

ностей (в %) по Малликену); эксперим. энергии ионизации (в эВ), полученные из фотоэлектронного спектра: MO $4a_1$ (верхняя заполненная MO) — 10,36; *s*, *p*-AO Sn, *p*-AO Cl; 10,38; MO $3 b_2$ — 12,03; *p*-AO Cl; 11,39 (дублетная полоса); MO $1a_2$ — 12,32; *p*-AO Cl; 11,39; MO $1b_1$ — 12,88; *p*-AO Cl; 12,39 (дублетная полоса); MO $3a_1$ — 13,11; *p*-AO Cl; 12,39; MO $2b_2$ — 13,85; *p*-AO Cl и Sn; 12,78; MO $2a_1$ — 17,23; *s*-AO Sn и *p*-AO Cl; 15,94; MO $1b_2$ — 28,99; *s*-AO Cl; MO $1a_1$ — 29,46; *s*-AO Cl (для двух последних более глубоколежащих по энергии MO эксперим. энергии ионизации не получены). В. М. Ковба



SnCl_2 1991
Ermakov R.V.,
Butayev B.S., et al.

Мукара 1991.
248, №-2. С. 143-154,

(Cu.  Tl_2O ; III)

1994

SnCl_2
 SnCl_2^+

$\text{J}_{\text{D}}, \text{g}, \text{AlH}_2 -$
Pyridine: PAC -
U.S. Encl.,
Cryogenic.
Not discussed
C.A. 1994 (f)

120: 307881y Bond energies, ionization potentials, and the singlet-triplet energy separations of SnCl_2 , SnBr_2 , SnI_2 , PbCl_2 , PbBr_2 , PbI_2 , and their positive ions. Benavides-Garcia, M.; Balasubramanian, K. (Dep. Chem. Biochem., Arizona State Univ., Tempe, AZ 85287-1604 USA). *J. Chem. Phys.* 1994, 100(4), 2821-30 (Eng). Spectroscopic properties (bond length [R_e , in Å], bond angle [θ_e , in degrees], electron d., and dipole moment [μ_e , in D]), ionization potentials (I.P., in eV), dissocn. energies (D_e , in eV), and the ${}^1\text{A}_1$ - ${}^3\text{B}_1$ energy sepns. were detd. for SnX_2 and PbX_2 ($X = \text{Cl}, \text{Br}, \text{I}$). The calcn. methods used were CAS-SCF followed by MRSD-CI. The ground state for all these mols. corresponded to ${}^1\text{A}_1$ state, followed by a ${}^3\text{B}_1$ state as the first excited state, and the ${}^1\text{B}_1$ state as the second excited state. The ground states of the pos. ions of these species were calcd. to be the ${}^2\text{A}_1$ state. The ${}^2\text{B}_1$ - ${}^2\text{A}_1$ energy sepns. of the pos. ions were calcd. The ${}^1\text{A}_1$ - ${}^3\text{B}_1$ energy sepns. (in kcal/mol) are: 60.0 for SnCl_2 ; 55.5 for SnBr_2 ; 47.1 for SnI_2 ; 69.7 for PbCl_2 ; 65.0 for PbBr_2 ; and 53.8 for PbI_2 . The properties of the ${}^1\text{A}_1$ ground state are $R_e = 2.363$, $\theta_e = 98.4$, $\mu_e = 3.739$, I.P. = 9.72, and $D_e = 3.50$ for SnCl_2 ; $R_e = 2.535$, $\theta_e = 99.7$, $\mu_e = 3.400$, I.P. = 9.34, and $D_e = 3.22$ for SnBr_2 ; $R_e = 2.738$, $\theta_e = 100.9$, $\mu_e = 2.863$, I.P. = 8.62, and $D_e = 2.52$ for SnI_2 ; $R_e = 2.542$, $\theta_e = 100.8$, $\mu_e = 5.289$, I.P. = 10.02, and $D_e = 3.19$ for PbCl_2 ; $R_e = 2.684$, $\theta_e = 101.5$, $\mu_e = 5.038$, I.P. = 9.64, and $D_e = 3.06$ for PbBr_2 ; and $R_e = 2.878$, $\theta_e = 103.6$, $\mu_e = 4.277$, I.P. = 8.82, and $D_e = 2.51$ for PbI_2 . The general trends for SnX_2 and PbX_2 ($X = \text{Cl}, \text{Br}, \text{I}$) are discussed.

120, N 24

SnCl₂

1995

124: 128282q Laser-Raman spectroscopic study of the vapor phase equilibria above molten SnCl₂. Fields, M.; Devonshire, R.; Edwards, H. G. M.; Fawcett, V. (Dep. Chemistry, Univ. Sheffield, Sheffield, UK S3 7HF). *Spectrochim. Acta, Part A* 1995, 51A(13), 2249-65 (Eng). Raman spectra of the gaseous phase of SnCl₂ are reported over the temp. range 666-1047 K. The development of a furnace designed for optical studies at temps. up to 1100 K is described. Agreement with previous Raman studies is excellent and in addn. new features are obsd. which are attributed to the dimeric species Sn₂Cl₄. Extensive force const. calcns. were carried out to establish the structure of this mol. The results show that the dimer mol. has C₂-symmetry with one bridging chlorine atom. The enthalpy of formation of Sn₂Cl₄ was calcd. by using second-law methods, and is in agreement with a previous result from mass spectrometry. Predicted vibrational band wave nos. from force const. calcns. are used to calc. values of the heat capacity C_p, the enthalpy H_T - H₂₉₈, and the entropy S_T - S₀ of Sn₂Cl₄ from 0 to 6000 K. The molten phase of SnCl₂ was also examd.

CKP, Aug. 2007

SnCl₂ (m)

C_p, H-H₂₉₈, (H)



1) Sn₂Cl₄ (S_fH)

2) SnCl₂ (m) (M.G.)

C.A. 1996, 124, N 10

Sr Cl₂

(Om. 38696)

1997

Emilia Sicilia, Mariso-
sa Toscano et al.

Ref: Int. J. Quantum-
Chem., 1997, 61, 571-77